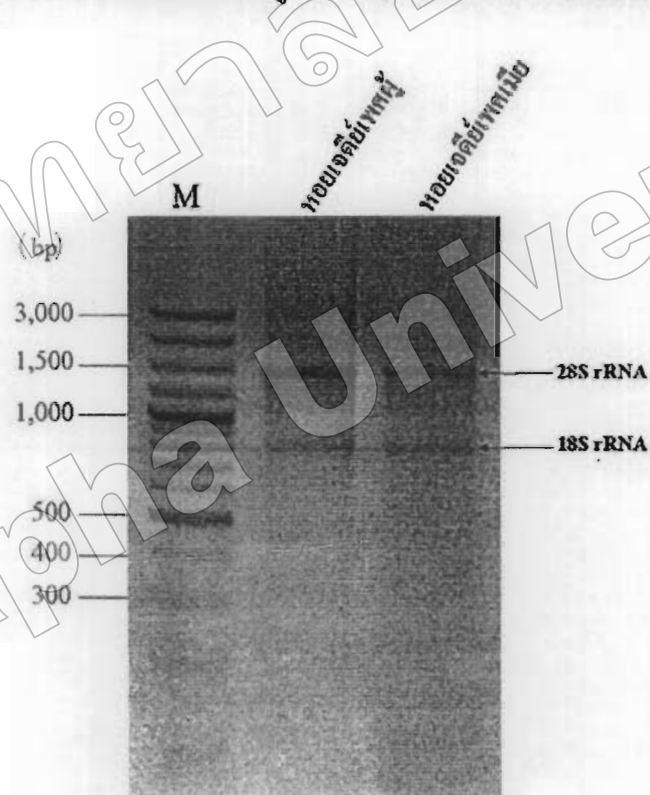


บทที่ 4

ผลการวิจัย

4.1 การเตรียมอาร์เอ็นเอจากตัวอย่างหอยเจดีย์

เมื่อทำการสกัดอาร์เอ็นเอจากปมประสาทส่วนเท้าและสมองของหอยเจดีย์เพศผู้และเพศเมีย โดยใช้ Trizol reagent แล้วทำการตรวจวิเคราะห์ด้วยวิธี 1% อะกาโรสเกลือเล็กโตร โฟร์ซิส เปรียบเทียบกับดีเอ็นเอมาตรฐาน 100 bp DNA ladder plus (ช่อง M) พบว่าสามารถเตรียมอาร์เอ็นเอได้พิจารณาจากແຄນอาร์เอ็นเอจำนวน 2 ແຄນโดยที่ความเข้มของยีน 28S rRNA มากกว่าเป็น 2 เท่า ของແຄນอาร์เอ็นเอ 18S rRNA ดังแสดงในรูปที่ 4-1 (ແສດງລັບພະຍາການເອົ້າສັດມາຈາກສ່ວນທີ່)



ภาพที่ 4-1 ແຄນอาร์เอ็นເອົ້າສັດມາຈາກເນື້ອເຢືອສ່ວນທີ່ຂອງหอยเจດีย์ເພື່ອແພຳເມີນທີ່ໄດ້ຮັບສາງ 17 β -estradiol 100 ng/L ເປັນເວລາ 7 ວັນ ດ້ວຍວິທີກາຣແໜ່ງລັງຈາກຕຽງສອນຄຸນກາພດ້ວຍ 1% อะกาໂຣສເໝລອີເລັກໂຕຣ ໂົຣີສ (M ຄື່ອ ດີເຈັນເອນາຕຣູານ 100 bp DNA ladder plus)

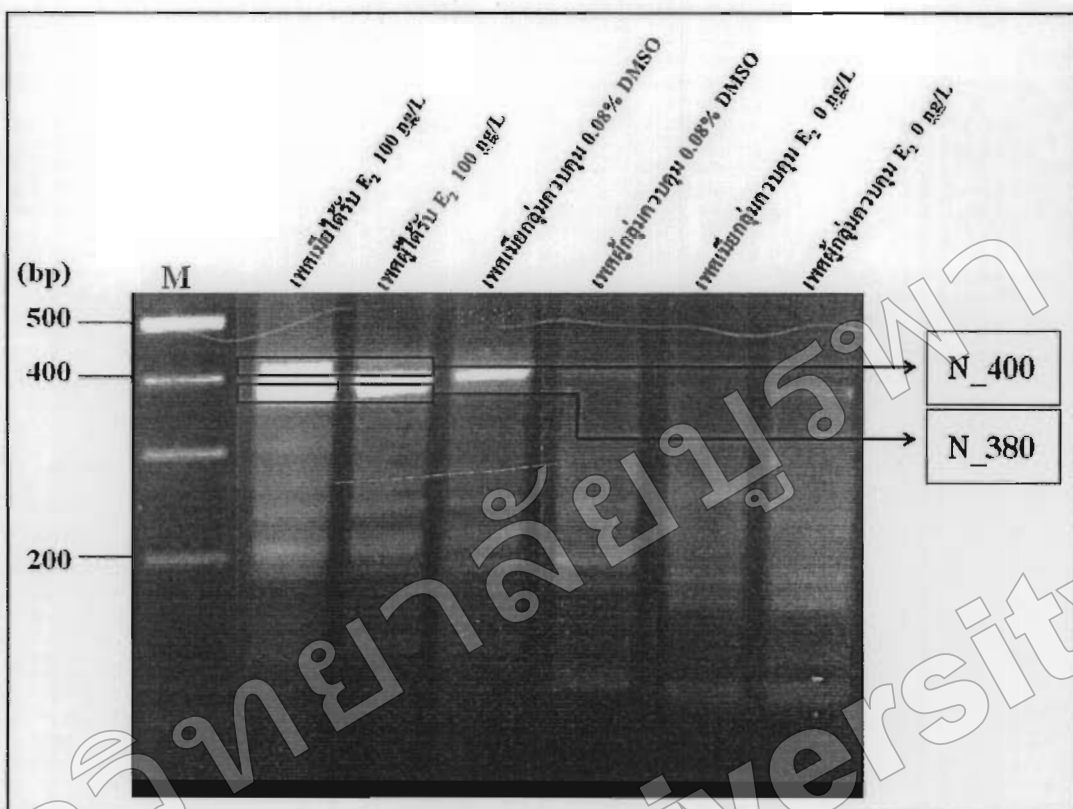
4.2 การคัดเลือกแอบดีเอ็นเอ

4.2.1 การคัดเลือกแอบดีเอ็นเอ

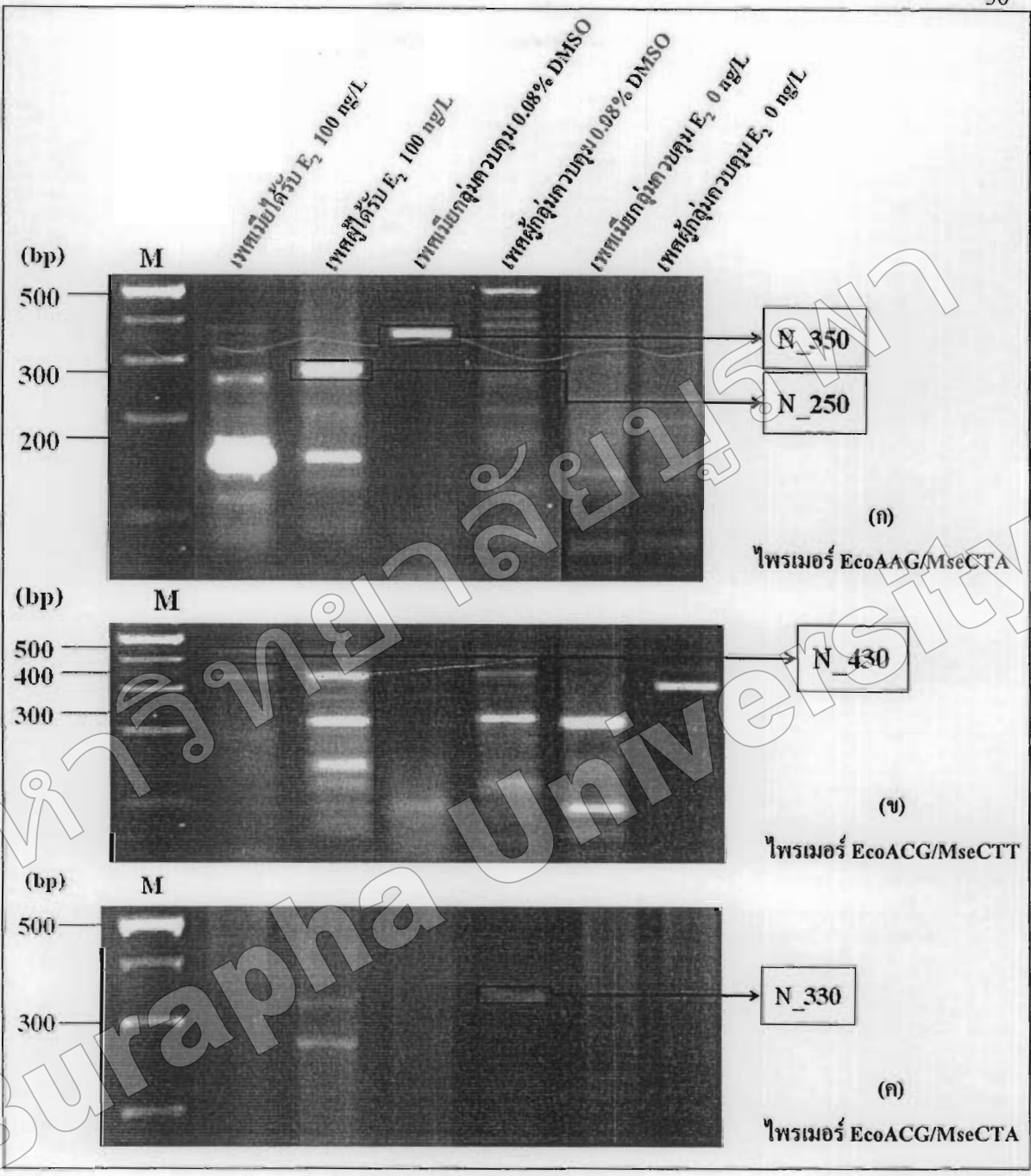
เมื่อนำอาร์เอ็นเอที่สกัดทึ้งจากกลุ่มหอยเจดีย์ที่ได้รับสาร E₂ และกลุ่มควบคุม (E₂ 0 ng/L และ ใน 0.08% DMSO) ทั้งเพคผู้และเพคเมิบนาดอครหัสแบบย้อนกลับสร้างเป็นชีดีเอ็นเอ จากนั้นนำมาตัดด้วยเอนไซม์ตัดจำเพาะ EcoRI และ MseI แล้วเชื่อมต่อกับ adapter จากนั้นเพิ่มปริมาณด้วยวิธีพีซีอาร์คัลวิไฟรเมอร์ที่จำเพาะกับ adapter จำนวน 4 คู่ (ตารางที่ 4-1) คัดเลือกแอบดีเอ็นเอที่แตกต่างกันที่มาจากการหอยเจดีย์เพคผู้และเพคเมิบที่ได้รับสาร E₂ และกลุ่มควบคุมที่ไม่ได้รับสาร E₂ สามารถคัดเลือกแอบดีเอ็นเอ 2 ແลบจากไฟรเมอร์จำนวน 2 คู่ คือคู่ไฟรเมอร์ EcoACT/MseCTA ได้ແลบ N_380 และ N_400 ที่มีขนาดเท่ากับ 380 และ 400 คู่เบส ตามลำดับ (ภาพที่ 4-2) และคู่ไฟรเมอร์ EcoAAG/MseCTA ได้ແลบ N_250 และ N_350 ที่มีขนาดเท่ากับ 250 และ 350 คู่เบส ตามลำดับ (ภาพที่ 4-3 (ก)) ส่วนไฟรเมอร์ EcoACG/MseCTA และ EcoACG/MseCTT ได้ແບดีเอ็นเออย่างละ 1 ແລນ คือ N_330 และ N_430 ที่มีขนาดเท่ากับ 330 และ 430 คู่เบส ตามลำดับ (ภาพที่ 4-3 (ข) และ (ก) ตามลำดับ)

ตารางที่ 4-1 ไฟรเมอร์ที่ใช้ในการคัดเลือกแอบดีเอ็นเอด้วยเทคนิค cDNA-AFLP

ชื่อไฟรเมอร์	ไฟรเมอร์	ลำดับเบส (5'-3')
EcoACT/MseCTA	EcoACT	GAATGCGTACCAATTCACT
	MseCTA	GATGAGTCCTGAGTAACTA
EcoAAG/MseCTA	EcoAAG	GAATGCGTACCAATTCAAG
	MseCTA	GATGAGTCCTGAGTAACTA
EcoACG/MseCTA	EcoACG	GAATGCGTACCAATTACG
	MseCTA	GATGAGTCCTGAGTAACTA
EcoACG/MseCTT	EcoACG	GAATGCGTACCAATTACG
	MseCTT	GATGAGTCCTGAGTAACCT



ภาพที่ 4-2 ແດบคีเอ็นเอที่ได้จากปฏิกริยา cDNA-AFLP ของหอยเจดีย์ที่ได้รับสาร E₂ 100 ng/L เพศเมียและเพศผู้โดยใช้ไฟรเมอร์ EcoACT/MseCTA ตรวจสอบด้วย 1% อะก้าโรสเจลอะกีโตรไฟริชส์ ที่ความค่ามค่าศักย์ 50 โวลต์ เป็นเวลา 3 ชั่วโมง (M คือ ดีเอ็นเอ มาตรฐาน 100 bp DNA ladder plus)



ภาพที่ 4-3 แบบดีเอ็นเอที่ได้จากปฏิกิริยา cDNA-AFLP ของหอยเดดี้ที่ได้รับสาร E_2 100 ng/L

เพศเมียและเพศผู้ โดยใช้ไพรเมอร์คู่ต่าง ๆ ตรวจสอบด้วย 1% อะกาโรสเจลอิเล็กโทรฟาร์ซิสที่ความต่างศักย์ 50 โวลต์ เป็นเวลา 3 ชั่วโมง (M คือ ดีเอ็นเอมาตรฐาน 100 bp DNA ladder plus)

(ก) แบบดีเอ็นเอที่ได้จากปฏิกิริยา cDNA-AFLP โดยคู่ไพรเมอร์ EcoAAG/MseCTA

(ก) แบบดีเอ็นเอที่ได้จากปฏิกิริยา cDNA-AFLP โดยคู่ไพรเมอร์ EcoACG/MseCTT

(ก) แบบดีเอ็นเอที่ได้จากปฏิกิริยา cDNA-AFLP โดยคู่ไพรเมอร์ EcoACG/MseCTA

4.2.2 การวิเคราะห์ลำดับนิวคลีโอไทด์

หลังจากตัดแยกดีเอ็นเอที่คัดเลือกได้มาผ่านการทำให้นริสุทธิ์โคลน อ่านลำดับนิวคลีโอไทด์ พบว่าແບดีเอ็นเอ N_400 และ N_380 (ภาพที่ 4.2) ที่ได้มาจากการใช้ไฟรเมอร์ EcoACT/MseCTA มีขนาดเท่ากับ 365 และ 265 คู่เบส ตามลำดับ เมื่อเปรียบเทียบลำดับกรดอะมิโน กับฐานข้อมูล GenBank ณ วันที่ 22 กุมภาพันธ์ พ.ศ. 2555 ด้วยโปรแกรม Blastx พบว่ามีความเหมือนกันกับลำดับกรดอะมิโนของยีน transposase ของปู Marbled crab (*Pachygrapsus marmoratus*) accession no: CAJ76996 (% Identities เท่ากับ 46 (32/70) และ 44 (45/102) ตามลำดับ) ดังแสดงในภาพที่ 4-4 ส่วนແບดีเอ็นเอ N_330, N_350 และ N_430 (ภาพที่ 4-3) มีขนาดเท่ากับ 330, 350 และ 430 คู่เบส ตามลำดับ เปรียบเทียบลำดับนิวคลีโอไทด์กับฐานข้อมูล GenBank พบว่ามีความเหมือนกับ AFLP marker mRNA sequence ของกุ้งกุลาคำ (*Penaeus monodon*) accession no: DQ132955 (100% Identities; 35/35) (ภาพที่ ผก-3x), AFLP marker mRNA sequence กุ้งกุลาคำ (*Penaeus monodon*) accession no: DQ132955 (100% Identities; 36/36) (ภาพที่ ผก-1ค) และ human clone RP11-709L9 from 4 ของมนุษย์ accession no: AC023150 (96% Identities; 121/121) (ภาพที่ ผก-2x) ตามลำดับ (ตารางที่ 4-2) และແບดีเอ็นเอ N_250 เมื่อเปลี่ยนลำดับนิวคลีโอไทด์เป็นกรดอะมิโนแล้วนำไปเปรียบเทียบกับลำดับกรดอะมิโนกับฐานข้อมูล GenBank พบว่ามีความเหมือนกับ putative glycosyl transferase ของ *Achromobacter xylosoxidans* accession no: EGP46290 (28% Identities; 18/64) (ภาพที่ ผก-1ช)

ในการทดลองนี้เลือกเฉพาะແບดีเอ็นเอ N_400 เพื่อศึกษาระดับการแสวงออกในระดับ mRNA ด้วยเทคนิค semi-quantitative RT-PCR โดยทำการออกแบบไฟรเมอร์ใหม่ได้คือ 217L_transposase และ 217R_transposase ผลิตภัณฑ์พีซีอาร์คาดว่ามีขนาดเท่ากับ 217 คู่เบส จากนั้นทำการเพิ่มปริมาณซีดีเอ็นเอของตัวอย่างโดยเจดีบีเพสผู้ที่ได้รับสาร E₂ โดยปฏิกริยาพีซีอาร์ประกอบด้วย 2X mastermix จำนวน 10 ไมโครลิตร, ซีดีเอ็นเอ จำนวน 1.5 ไมโครลิตร ไฟรเมอร์ อย่างละ 1 ไมโครลิตร ปรับปริมาตรให้ครบ 20 ไมโครลิตรด้วยน้ำกัลลัน ทำปฏิกริยาจำนวน 40 รอบ โดยมีขั้นตอน denature ที่ 94°C นาน 30 วินาที, annealing ที่ 60°C นาน 40 วินาที, extention ที่ 72°C นาน 30 วินาที และ final extention ที่ 72°C นาน 5 นาที ตรวจสอบผลผลิตด้วย 1% อะการ์สเจลオリีก์โตร ไฟรซิสท์ความต่างสักย์ 100 ໄວลด์ เป็นเวลา 30 นาที พบว่าผลผลิต PCR มีขนาดเท่ากับ 217 คู่เบส ดังที่คาดการณ์ไว้ (ภาพที่ 4-5) ในการทดลองนี้ให้ชื่อเครื่องหมายดีเอ็นเอที่คัดเลือกได้ว่า “217_AFLP”

Score = 75.1 bits (183), Expect = 2e-14
 Identities = 32/70 (46%), Positives = 46/70 (66%), Gaps = 0/70 (0%)
 Frame = -2

N_400	264	VIKAVQEQQHPTTGTTRNSMILHDNAAAHKSRAATTQFLADEKLPVLLHTPYSPDLSPCDYWL	85
		V++ + PT ++ HDNA+ HK+R T QFL + + +L H PYSPDL+PCD+WL	
CAJ76996	234	VLEHQAKSAPTRRRSRLLLHDNASPHKARLTQFLEQQGITLLPHPPYSPDLAPCDFWL	293
N_400	84	FPLLKARLAG	55
		FP +R +AG	
CAJ76996	294	FPKIRGAIAG	303

(ก)

>|emb|CAJ76996.1| transposase [Pachygrapsus marmoratus]
 Length=353

Score = 107 bits (286), Expect = 1e-25
 Identities = 45/102 (44%), Positives = 69/102 (68%), Gaps = 0/102 (0%)
 Frame = -3

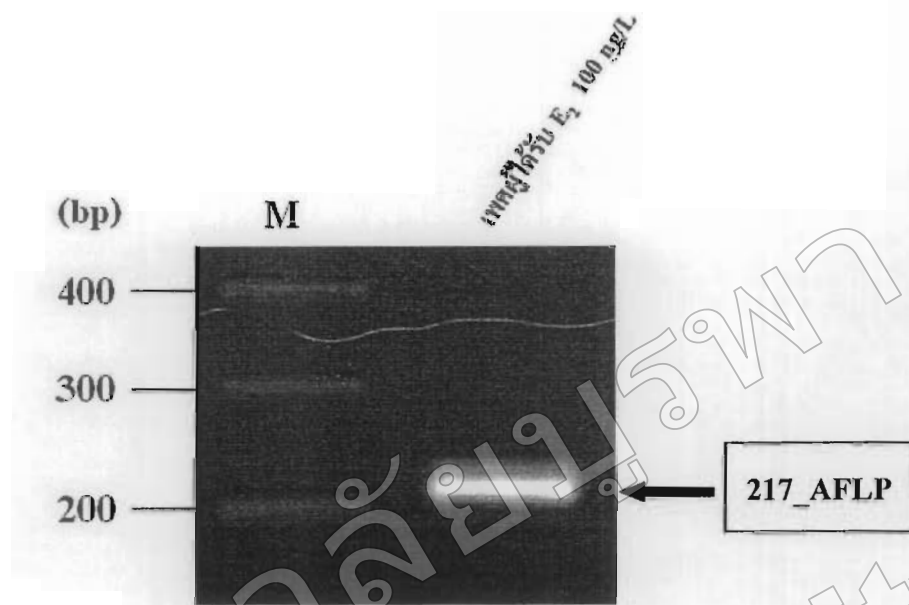
N_380	363	VISNYAGPLVVVDILPEKKMTSAHYTNTPVNPVIKAVQEQQHPTTGTTRNSMILHDNAAAHK	181
		+ N GP+ VD++P++ T+T+ +YT+ VLP V++ + PT ++ HDNA+ HK	
CAJ76996	202	IFFNSQGPMPMCVDVMPQQSTITAQYYTDQVLPQVLEHQAKSAPTRRRSRLLLHDNASPHK	261
N_380	180	SRATTQFLADEKLPVLLHTPYSPDLSPCDYWLFPPLLKARLAG	55
		+R T QFL + + +L H PYSPDL+PCD+WL FP +R +AG	
CAJ76996	262	ARLTQFLEQQGITLLPHPPYSPDLAPCDFWLFPRIKGAIAG	303

(ข)

ภาพที่ 4-4 การเทียบเคียงลำดับกรดอะมิโนโดยใช้โปรแกรม blastx ของแบบดีเอ็นเอ N_400 (ก)
 และแบบดีเอ็นเอ N_380 (ข) กับลำดับกรดอะมิโนของยีน transposase ของ ปู Marbled
 crab (*Pachygrapsus marmoratus*) GenBank accession no: CAJ76996
หมายเหตุ ว่ารีแสดงจำนวนลำดับกรดอะมิโนที่เทียบเคียงได้และ % ความเหมือน (Identity)

ตารางที่ 4-2 รายละเอียดของแต่ละตัวอย่างที่ได้ด้วยวิธี cDNA-AFLP

ชื่อกรรมร์	รหัสแท็บ	ชนิด	การเทียบเคียงกับฐานข้อมูล GenBank		
			ตัวเขียว	Accession no.	% Identities (จำนวนแบบที่ยืนยัน)
EcoACT/MseCTA	N_380	265	CAJ76996	transposase [<i>Pachygrapsus marmoratus</i>]	44 (45/102)
	N_400	365	CAJ76996	transposase [<i>Pachygrapsus marmoratus</i>]	46 (32/70)
EcoACG/MseCTA	N_330	330	DQ132955	Penaeus monodon clone 078 AFLP marker mRNA sequence	100 (35/35)
	N_430	134	AC023150	Homo sapiens BAC clone RP11-709L9 from 4, complete sequence	100 (121/121)
EcoAAG/MseCTT	N_250	265	EGP46290	putative glycosyl transferase [Achromobacter xylosoxidans AXA-A]	28 (18/64)
	N_350	629	DQ132955	Penaeus monodon clone 078 AFLP marker mRNA sequence	100 (36/36)



ภาพที่ 4-5 ผลทดลองของหอยเจดี้เพคผู้ที่ได้รับสาร E₂ 100 ng/L จากไพรเมอร์ 217L_transposase และ 217R_transposase (M คือ คีเอ็นเอมาตรฐาน 100 bp DNA ladder plus)

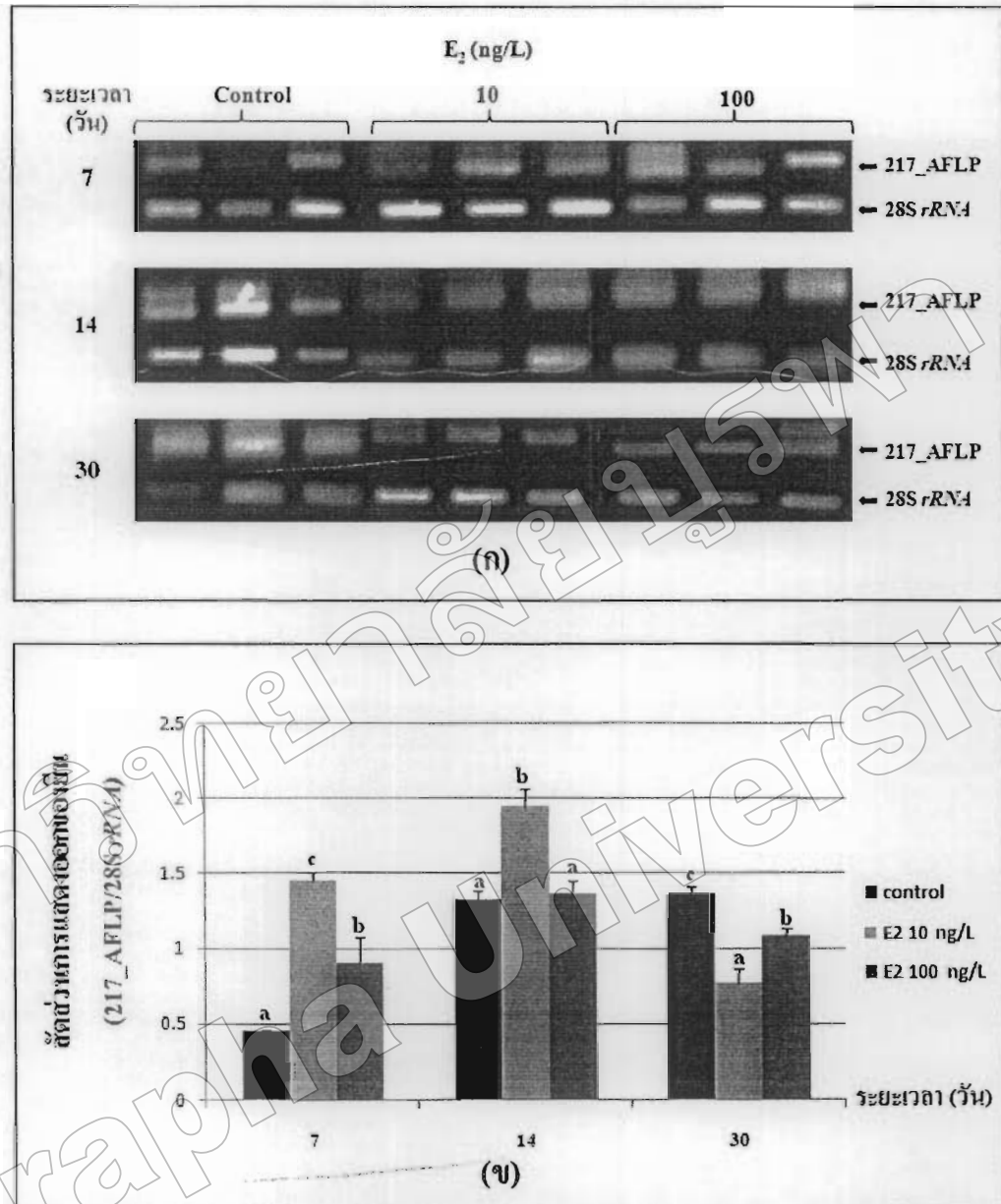
4.3 การศึกษาผลของสาร 17 β -estradiol ต่อระดับการแสดงออกของเครื่องหมายดีเอ็นเอ 217_AFLP ในหอยเจดี้ตัวเต็มวัย

a) น้ำอี้เสื้อเท้า

เมื่อทำการทดสอบให้หอยเจดี้พึ่งเพคเมียได้รับสาร E₂ แตกต่างกัน 4 กลุ่ม ความเข้มข้นคือ 0.08% DMSO ในน้ำทะเล (control), 0 (control), 10 และ 100 ng/L E₂ ด้วยวิธีการ เช่นเดียวกับการทดสอบของ 217_AFLP ที่บันทึกในชั้น 28S rRNA ด้วยเทคนิค semi-quantitative RT-PCR พบว่าในกลุ่มควบคุมทั้ง 2 กลุ่ม (0.08% DMSO ในน้ำทะเล และ 0 ng/L ในน้ำทะเล) ในเพคเมียและเพคผู้นี้ ระดับการแสดงออกของ 217_AFLP ไม่มีความแตกต่างกัน ($p>0.05$) ดังนั้นในการวัดระดับการแสดงออกของ 217_AFLP จึงทำการเยร์เชิ่นเทียบกับกลุ่มควบคุมที่เดี่ยงในน้ำทะเลที่มี 0.08% DMSO เพียงอย่างเดียว โดยพบว่าในหอยเพคเมียที่ได้รับสาร E₂ เป็นระยะเวลา 7 วัน พบว่า E₂ มีผลซักนำในระดับการแสดงออกของ 217_AFLP ที่ระดับความเข้มข้น 10 และ 100 ng/L (1.45 ± 0.06 และ 0.9 ± 0.18 ตามลำดับ) แตกต่างจากกลุ่มควบคุม (0.45 ± 0.01) อย่างมีนัยสำคัญ ($p<0.05$) และที่ระยะเวลา 14 วัน พบว่า E₂ ที่ระดับความเข้มข้น 10 ng/L ซักนำระดับการแสดงออกของ

217_AFLP เท่ากับ 1.94 ± 0.12 แต่ต่างจากกลุ่มควบคุม 1.32 ± 0.06 อย่างมีนัยสำคัญ ($p < 0.05$) แต่ที่ระดับความเข้มข้น 100 ng/L พบว่า E_2 ขั้นนำให้หอยเจดีย์เพศเมียมีระดับการแสดงออกของ 217_AFLP เท่ากับ 1.36 ± 0.09 ไม่แตกต่างจากกลุ่มควบคุม ($p > 0.05$) และที่ระยะเวลา 30 วัน พบว่า E_2 ขั้นยังระดับการแสดงออกของ 217_AFLP ที่ระดับความเข้มข้น 10 และ 100 ng/L การแสดงออกมีค่าเท่ากับ 0.77 ± 0.10 และ 1.08 ± 0.05 ตามลำดับ แต่ต่างจากกลุ่มควบคุม (1.36 ± 0.05) อย่างมีนัยสำคัญ ($p < 0.05$) (ภาพที่ 4-6 และตารางที่ 4-3)

ผลการทดสอบในเพศผู้พบว่าหอยเจดีย์ที่ได้รับสาร E_2 ที่ระดับความเข้มข้น 10 และ 100 ng/L เป็นระยะเวลา 7 วัน มีผลทำให้การแสดงออกของ 217_AFLP เท่ากับ 1.27 ± 0.18 และ 1.75 ± 0.16 ตามลำดับ แต่ต่างจากกลุ่มควบคุม (0.61 ± 0.06) อย่างมีนัยสำคัญทางสถิติ ($p < 0.05$) เมื่อได้รับ E_2 เป็นระยะเวลา 14 วัน ที่ระดับความเข้มข้น 10 และ 100 ng/L พบว่า E_2 ขั้นยังการแสดงออกของ 217_AFLP มีค่าเท่ากับ 1.30 ± 0.14 และ 1.11 ± 0.11 ตามลำดับ แต่ต่างจากกลุ่มควบคุม (2.61 ± 0.34) อย่างมีนัยสำคัญ ($p < 0.05$) และที่ระยะเวลา 30 วัน ที่ระดับความเข้มข้น 10 ng/L และ 100 ng/L E_2 ขั้นยังการแสดงออกของ 217_AFLP (0.68 ± 0.03 และ 0.81 ± 0.02 ตามลำดับ) แต่ต่างจากกลุ่มควบคุม (1.12 ± 0.01) อย่างมีนัยสำคัญ ($p < 0.05$) (ภาพที่ 4-7 และตารางที่ 4-3)

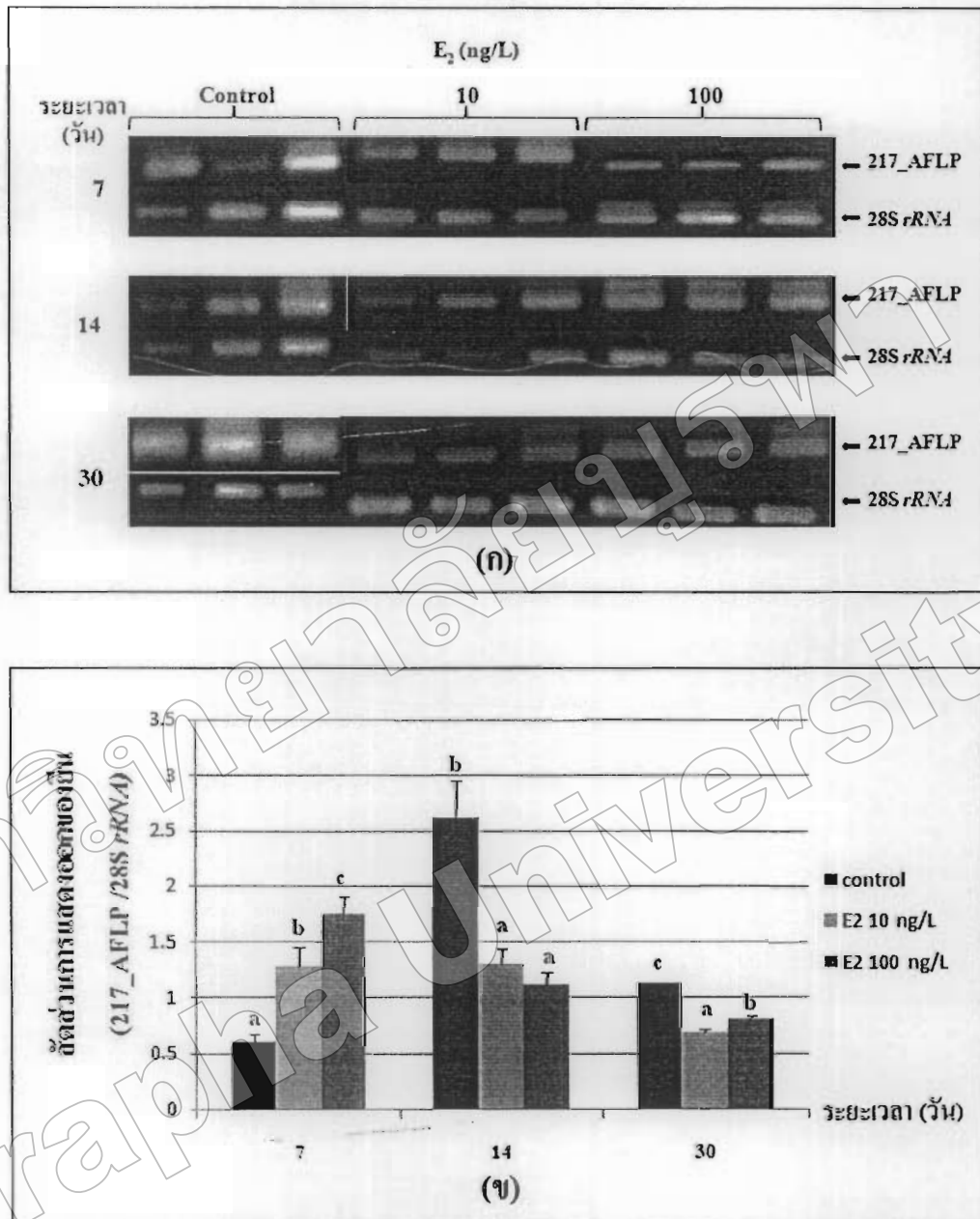


ภาพที่ 4-6 ระดับการแสดงออกของ 217_AFLP ในเนื้อเยื่อส่วนเท้าของหอยเชดี้้เพคเมียที่ได้รับสาร E₂ แตกต่างกัน 3 ระดับความเข้มข้นคือ control (0.08% DMSO), 10 และ 100 ng/L ด้วยวิธีการแข็งเป็นระยะเวลา 7, 14 และ 30 วัน

(ก) สัดส่วนการแสดงออกของ 217_AFLP กับยีน 28S rRNA

(ข) กราฟความสัมพันธ์ระหว่างระดับการแสดงออกของ 217_AFLP กับระยะเวลาที่หอยเชดี้้ได้รับสาร E₂ ที่ความเข้มข้นต่าง ๆ

หมายเหตุ ตัวอักษรภาษาอังกฤษต่างกันที่ระยะเวลาเดียวกันแสดงความแตกต่างอย่างมีนัยสำคัญทางสถิติ ($p < 0.05$)



ภาพที่ 4-7 ระดับการแสดงออกของ 217_AFLP ในเนื้อเยื่อส่วนเท้าของหอยเจดี้เพศผู้ที่ได้รับสาร E₂ แตกต่างกัน 3 ระดับความเข้มข้นคือ control (0.08% DMSO), 10 และ 100 ng/L ด้วยวิธีการแปรเป็นระยะเวลา 7, 14 และ 30 วัน

(ก) รัศมีส่วนการแสดงออกของ 217_AFLP กับยีน 28S rRNA

(ข) กราฟความสัมพันธ์ระหว่างระดับการแสดงออกของ 217_AFLP กับระยะเวลาที่หอยเจดี้ได้รับสาร E₂ ที่ความเข้มข้นต่าง ๆ

หมายเหตุ ตัวอักษรภาษาอังกฤษต่างกันที่ระยะเวลาเดียวกันแสดงความแตกต่างอย่างมีนัยสำคัญทางสถิติ ($p < 0.05$)

ตารางที่ 4-3 ระดับการแสดงออกของ 217_AFLP ในเนื้อเยื่อหัวของหอยเจดี๊ตัวเต็มวัยที่ได้รับสาร E_2 ระดับความเข้มข้น control (0.08% DMSO), 10 และ 100 ng/L เป็นระยะเวลา 7, 14 และ 30 วัน

หอยเจดี๊ตัวเต็มวัย	E_2 (วัน)	ระดับความเข้มข้นของ E_2 (ng/L)		
		control	10	100
เพศเมีย	7	0.45±0.01 ^a	1.45±0.06 ^c	0.9±0.18 ^b
	14	1.32±0.06 ^a	1.94±0.12 ^b	1.36±0.09 ^a
	30	1.36±0.05 ^c	0.77±0.10 ^a	1.08±0.05 ^b
เพศผู้	7	0.61±0.06 ^a	1.27±0.18 ^b	1.75±0.16 ^c
	14	2.61±0.34 ^b	1.30±0.14 ^a	1.11±0.11 ^a
	30	1.12±0.01 ^c	0.68±0.03 ^a	0.81±0.02 ^b

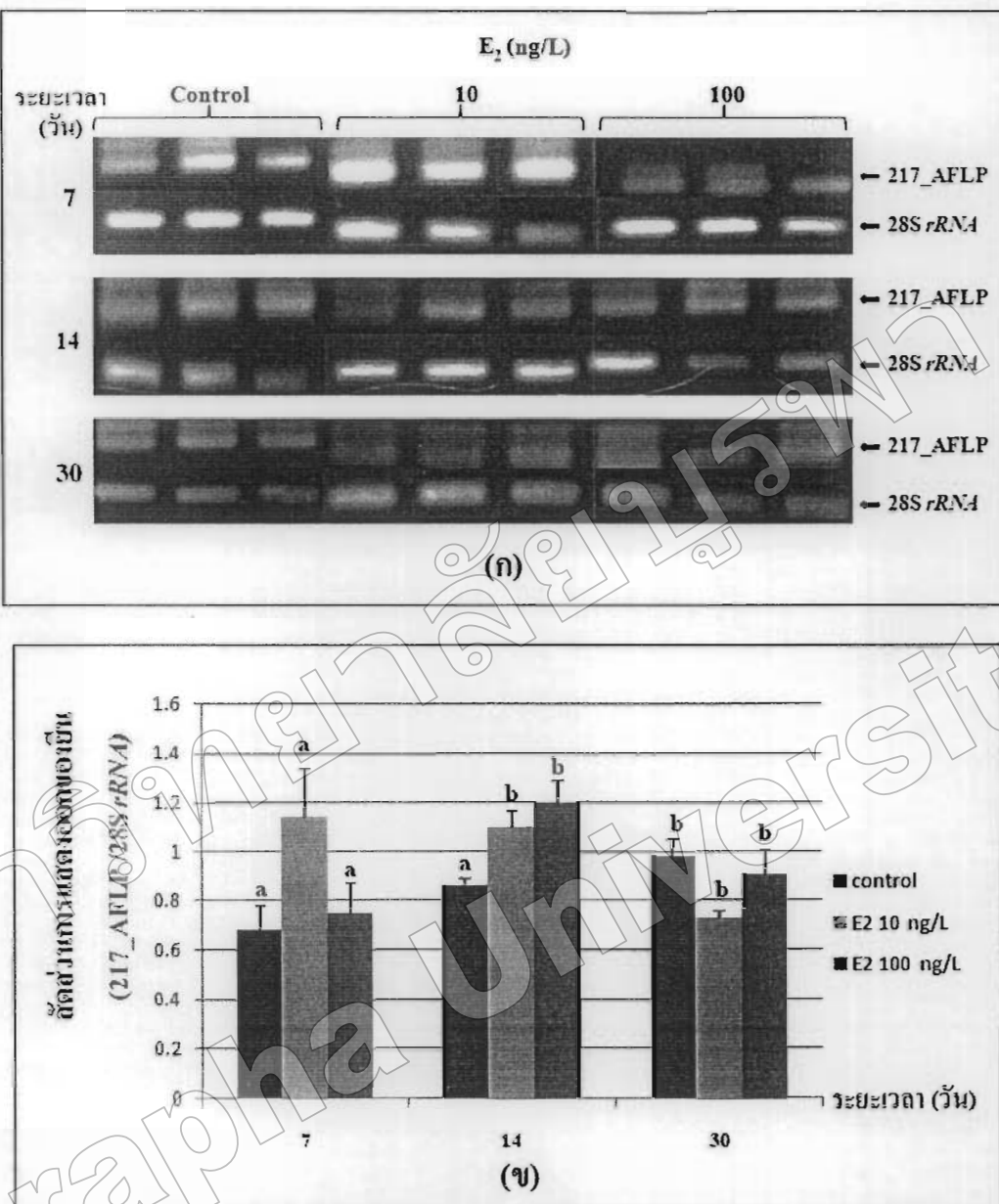
หมายเหตุ ตัวอักษรภาษาอังกฤษที่แตกต่างกันในแต่เดียวกันแสดงความแตกต่างอย่างมีนัยสำคัญทางสถิติ ($p<0.05$)

4.3 การศึกษาผลของสาร 17β -estradiol ต่อระดับการแสดงออกของ 217_AFLP ในหอยเจดีย์ตัวเมียวัย

บ) เนื้อเยื่อสมอง

หอยเจดีย์เพศผู้และเพศเมียเมื่อได้รับสาร E_2 เช่นเดียวกับที่มีการทดสอบในส่วนเท้าพบว่าในเพศเมียที่ได้รับสาร E_2 เป็นระยะเวลา 7 วัน ที่ระดับความเข้มข้น 10 และ 100 ng/L (1.14 ± 0.20 และ 0.75 ± 0.12 ตามลำดับ) 217_AFLP มีระดับการแสดงออกไม่แตกต่างกับกลุ่มควบคุม (0.68 ± 0.10) ($p > 0.05$) แต่เมื่อได้รับ E_2 ติดต่อกันนาน 14 วัน ที่ระดับความเข้มข้น 10 และ 100 ng/L พบว่า E_2 ชักนำระดับการแสดงออกของ 217_AFLP เพิ่มขึ้น 1.10 ± 0.07 และ 1.20 ± 0.09 ตามลำดับ แตกต่างจากกลุ่มควบคุม (0.86 ± 0.03) อย่างมีนัยสำคัญ ($p < 0.05$) และ E_2 ที่ระยะเวลา 30 วัน ที่ระดับความเข้มข้น 10 และ 100 ng/L (0.73 ± 0.03 และ 0.91 ± 0.10 ตามลำดับ) มีระดับการแสดงออกของ 217_AFLP ไม่แตกต่างกับกลุ่มควบคุม (0.98 ± 0.07) ($p > 0.05$) ดังแสดงในภาพที่ 4-8

สำหรับการทดสอบในเพศผู้เมื่อได้รับสาร E_2 ที่ระดับความเข้มข้น 100 ng/L เป็นระยะเวลาหนึ่ง 7 วัน มีผลชักนำการแสดงออกของ 217_AFLP เพิ่มขึ้น 1.29 ± 0.03 แตกต่างจากกลุ่มควบคุม (0.61 ± 0.08) อย่างมีนัยสำคัญ ($p < 0.05$) แต่ที่ระดับความเข้มข้น 10 ng/L (0.93 ± 0.03) มีระดับการแสดงออกของ 217_AFLP ไม่แตกต่างกับกลุ่มควบคุม ($p > 0.05$) และเมื่อหอยเจดีย์เพศผู้ได้รับสาร E_2 ที่ระดับความเข้มข้น 10 และ 100 ng/L เป็นระยะเวลานาน 14 วัน พบว่าชักนำระดับการแสดงออกของ 217_AFLP เพิ่มขึ้น 1.86 ± 0.04 และ 1.84 ± 0.06 ตามลำดับ แตกต่างจากกลุ่มควบคุม (1.22 ± 0.03) อย่างมีนัยสำคัญ ($p < 0.05$) และที่ระยะเวลา 30 วัน ที่ระดับความเข้มข้น 10 และ 100 ng/L (0.86 ± 0.12 และ 1.31 ± 0.07) ระดับการแสดงออกของ 217_AFLP ไม่แตกต่างกับกลุ่มควบคุม (1.14 ± 0.04) ($p > 0.05$) ดังแสดงในภาพที่ 4-9

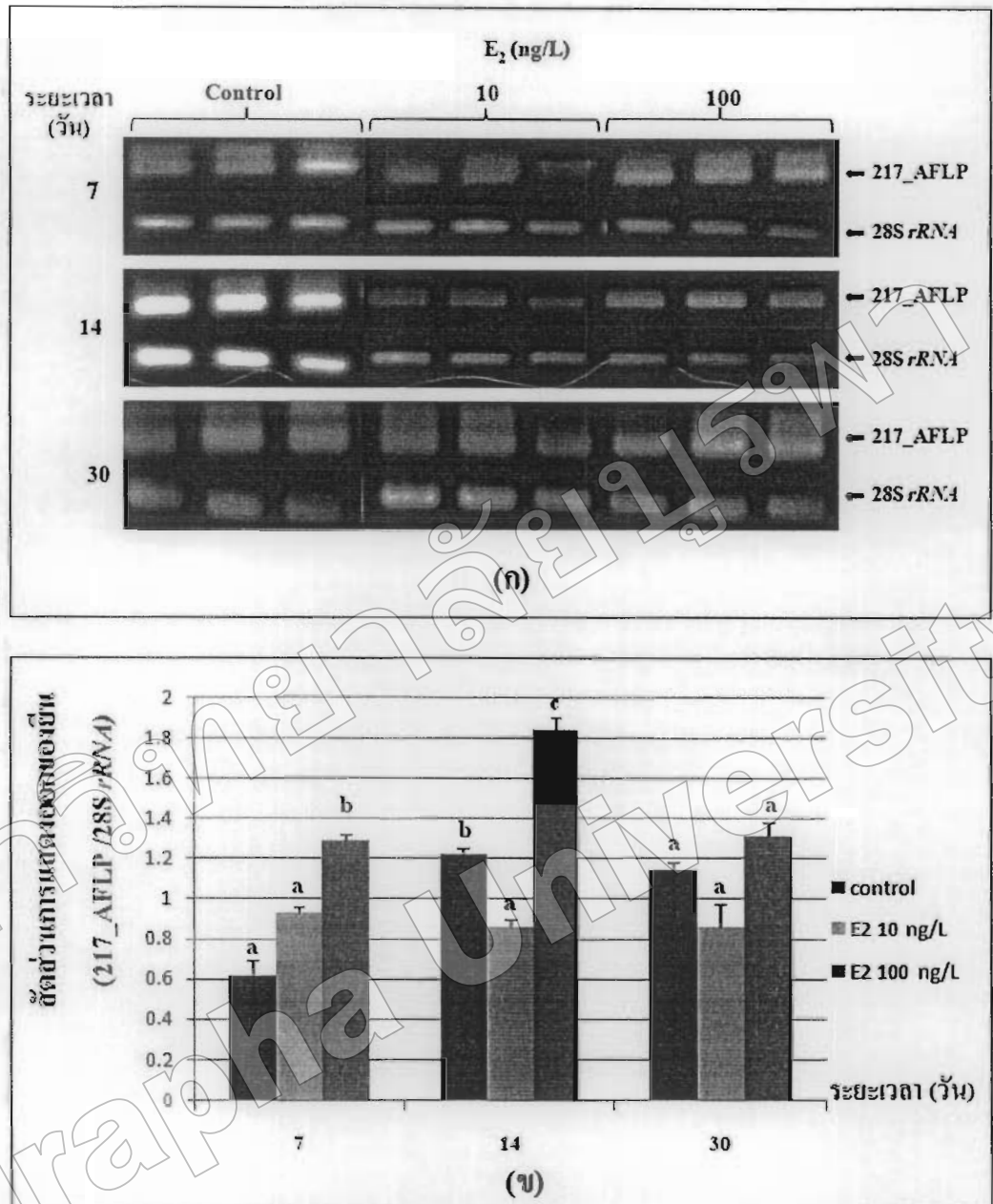


ภาพที่ 4-8 ระดับการแสดงออกของ 217_AFLP ในเนื้อเยื่อสมองของหอยเจดีย์เพคเมียที่ได้รับสาร E_2 แตกต่างกัน 3 ระดับความเข้มข้นคือ control (0.08% DMSO), 10 และ 100 ng/L ศัลยวิธีการแข่เป็นระยะเวลานาน 7, 14 และ 30 วัน

(ก) สัดส่วนการแสดงออกของ 217_AFLP กับ ยีน 28S rRNA

(ข) กราฟความสัมพันธ์ระหว่างระดับการแสดงออกของ 217_AFLP กับระยะเวลาที่หอยเจดีย์ได้รับสาร E_2 ที่ความเข้มข้นต่าง ๆ

หมายเหตุ ตัวอักษรภาษาอังกฤษต่างกันที่ระยะเวลาเดียวกันแสดงความแตกต่างอย่างมีนัยสำคัญทางสถิติ ($p < 0.05$)



ภาพที่ 4-9 ระดับการแสดงออกของ 217_AFLP ในเนื้อเยื่อสมองของหอยเดดี้เพศผู้ที่ได้รับสาร E₂ แตกต่างกัน 3 ระดับความเข้มข้นคือ control (0.08% DMSO), 10 และ 100 ng/L ด้วยวิธีการแข็งเป็นระยะเวลา 7, 14 และ 30 วัน

(ก) สัดส่วนการแสดงออกของ 217_AFLP กับ ยีน 28S rRNA

(ข) กราฟความสัมพันธ์ระหว่างระดับการแสดงออกของ 217_AFLP กับระยะเวลาที่หอยเดดี้ได้รับสาร E₂ ที่ความเข้มข้นต่าง ๆ

หมายเหตุ ตัวอักษรภาษาอังกฤษต่างกันที่ระยะเวลาเดียวกันแสดงความแตกต่างอย่างมีนัยสำคัญทางสถิติ ($p < 0.05$)

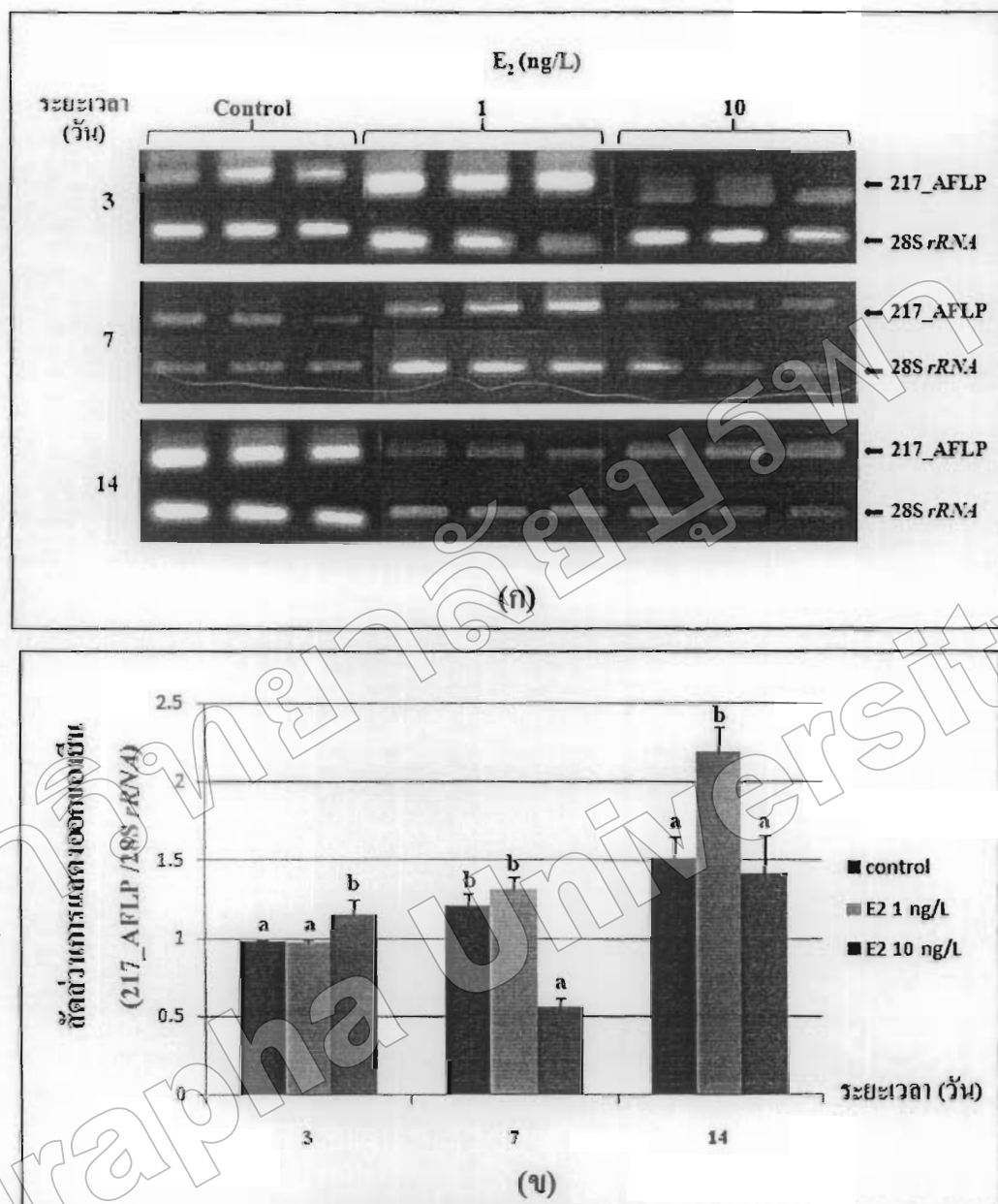
ตารางที่ 4-4 ระดับการแสดงออกของ 217_AFLP ในเนื้อเยื่อสมองของหอยเจดีย์ตัวเต็มวัย
ที่ได้รับสาร E₂ ระดับความเข้มข้น control (0.08% DMSO), 10 และ 100 ng/L เป็น
ระยะเวลานาน 7, 14 และ 30 วัน

หอยเจดีย์ ตัวเต็มวัย	ระยะเวลารับสาร E ₂ (วัน)	ระดับความเข้มข้นของ E ₂ (ng/L)		
		control	10	100
เพศเมีย	7	0.68±0.10 ^a	1.14±0.20 ^a	0.75±0.12 ^a
	14	0.86±0.03 ^a	1.10±0.07 ^b	1.20±0.09 ^b
	30	0.98±0.07 ^a	0.73±0.03 ^a	0.91±0.10 ^a
เพศผู้	7	0.61±0.08 ^a	0.93±0.03 ^a	1.29±0.03 ^b
	14	1.22±0.03 ^b	0.86±0.04 ^a	1.84±0.06 ^c
	30	1.14±0.04 ^a	0.86±0.12 ^a	1.31±0.07 ^a

หมายเหตุ ตัวอักษรภาษาอังกฤษที่แตกต่างกันในแต่ละเดียวกันแสดงความแตกต่างอย่างมีนัยสำคัญ
ทางสถิติ ($p<0.05$)

4.4 การศึกษาผลของสาร 17β -estradiol ต่อระดับการแสดงออกของ 217_AFLP ในหอยเจดีย์วัยอ่อน

เมื่อทำการศึกษาระดับการแสดงออกของ 217_AFLP ในหอยเจดีย์วัยอ่อนที่ได้รับสาร E_2 แตกต่างกัน 3 ระดับคือ control (0.08% DMSO), 1 และ 10 ng/L ด้วยวิธีการแซ็ตติคต์อกันเป็นระยะเวลามาก 3, 7 และ 14 วัน ทำการตรวจด้วยเทคนิค semi-quantitative RT-PCR พบว่าเมื่อได้รับสาร E_2 ที่ระดับความเข้มข้น 1 ng/L ระยะเวลา 3 วัน มีผลทำให้หอยเจดีย์วัยอ่อนมีระดับการแสดงออกของ 217_AFLP เพิ่มขึ้น 0.97 ± 0.02 ไม่แตกต่างกับกลุ่มควบคุม (0.98 ± 0.01) ($p > 0.05$) แต่ที่ระดับความเข้มข้น 10 ng/L มีผลชักนำระดับการแสดงออกของ 217_AFLP เพิ่มขึ้น 1.15 ± 0.10 แตกต่างจากกลุ่มควบคุมอย่างมีนัยสำคัญ ($p < 0.05$) เมื่อได้รับสาร E_2 ที่ระดับความเข้มข้น 1 ng/L เป็นระยะเวลา 7 วัน มีระดับการแสดงออกของ 217_AFLP เพิ่มขึ้น 1.31 ± 0.08 ไม่แตกต่างกับกลุ่มควบคุม (1.21 ± 0.07) ($p > 0.05$) แต่ที่ระดับความเข้มข้น 10 ng/L มีผลยับยั้งระดับการแสดงออกของ 217_AFLP เพิ่มขึ้น 0.56 ± 0.05 แตกต่างจากกลุ่มควบคุมอย่างมีนัยสำคัญ ($p < 0.05$) แต่เมื่อได้รับสาร E_2 ที่ระดับความเข้มข้น 1 ng/L เป็นระยะเวลา 14 วัน มีผลชักนำการแสดงออกของ 217_AFLP เพิ่มขึ้น 2.19 ± 0.16 แตกต่างกับกลุ่มควบคุม (1.51 ± 0.14) อย่างมีนัยสำคัญ ($p < 0.05$) แต่ที่ระดับความเข้มข้น 10 ng/L (1.42 ± 0.24) ไม่แตกต่างจากกลุ่มควบคุม ($p > 0.05$) ดังแสดงในภาพที่ 4-10 และตารางที่ 4-5



ภาพที่ 4-10 ระดับการแสดงออกของ 217_AFLP ในหอยเจดีบัวอ่อนที่ได้รับสาร E₂

แตกต่างกัน 3 ระดับความเข้มข้นคือ control (0.08% DMSO), 1 และ 10 ng/L ด้วยวิธีการแฟ่เป็นระยะเวลา 3, 7 และ 14 วัน

(ก) สัดส่วนของการแสดงออกของ 217_AFLP กับ 28S rRNA

(ข) กราฟความสัมพันธ์ระหว่างระดับการแสดงออกของ 217_AFLP กับระยะเวลาที่หอยเจดีบัวอ่อนได้รับสาร E₂ ที่ระดับความเข้มข้นต่าง ๆ

หมายเหตุ ตัวอักษรภาษาอังกฤษต่างกันที่ระยะเวลาเดียวกันแสดงความแตกต่างอย่างมีนัยสำคัญ

ทางสถิติ ($p<0.05$)

ตารางที่ 4-5 ระดับการแสดงออกของ 217_AFLP ในหอยเจดีย์วัยอ่อนที่ได้รับสาร E₂ ระดับความเข้มข้น control (0.08% DMSO), 1 และ 10 ng/L เป็นระยะเวลา 3, 7 และ 14 วัน

ระยะเวลาการรับสาร E ₂ (วัน)	ระดับความเข้มข้นของ E ₂ (ng/L)		
	control	1	10
3	0.98±0.01 ^a	0.97±0.02 ^a	1.15±0.10 ^b
7	1.21±0.07 ^b	1.31±0.08 ^b	0.56±0.05 ^a
14	1.51±0.14 ^a	2.19±0.16 ^b	1.42±0.24 ^a

หมายเหตุ ตัวอักษรภาษาอังกฤษที่แตกต่างกันในแต่ละเดือนเดียวกันแสดงความแตกต่างอย่างมีนัยสำคัญทางสถิติ ($p<0.05$)